

МИНОБРНАУКИ РОССИИ  
ФЕДЕРАЛЬНОЕ ГОСУДАРСТВЕННОЕ БЮДЖЕТНОЕ  
ОБРАЗОВАТЕЛЬНОЕ УЧРЕЖДЕНИЕ ВЫСШЕГО ОБРАЗОВАНИЯ  
«ВОРОНЕЖСКИЙ ГОСУДАРСТВЕННЫЙ УНИВЕРСИТЕТ»  
(ФГБОУ ВО «ВГУ»)

Факультет прикладной математики, информатики и механики  
Кафедра математического и прикладного анализа

**ЛАБОРАТОРНАЯ РАБОТА №2**

**ЧИСЛЕННОЕ РЕШЕНИЕ СТАЦИОНАРНОГО  
УРАВНЕНИЯ ШРЁДИНГЕРА: ТЕОРИЯ  
ВОЗМУЩЕНИЙ**

Направление: 01.04.02 - Прикладная математика и информатика  
Профиль: Компьютерные технологии в задачах математической физики,  
оптимизации и управления

Выполнил:  
студент 11 группы 2 курса магистратуры  
Маркин Р.О.  
Преподаватель:  
доктор физ.-мат. наук, профессор  
Тимошенко Ю.К.

Воронеж 2024

## Содержание

1	Цели и задачи работы . . . . .	3
2	Одномерное стационарное уравнение Шрёдингера. Математический формализм. Общие свойства решений . . . . .	4
3	Теория возмущений. Алгоритм . . . . .	6
4	Программная реализация алгоритма . . . . .	9
5	Результаты численных экспериментов и их анализ . . . . .	11
	Приложение 1. Компьютерный код . . . . .	18
	Список литературы . . . . .	26

# 1. Цели и задачи работы

## Цели работы.

Целями лабораторной работы являются практическое освоение информации, полученной при изучении курса «Компьютерное моделирование в математической физике» по теме «Численное решение стационарного уравнения Шрёдингера», а также развитие алгоритмического мышления и приобретение опыта использования знаний и навыков по математике, численным методам и программированию для решения прикладных задач физико-технического характера.

## Задачи работы.

**Проблема:** электрон находится в одномерной потенциальной яме с бесконечными стенками  $U(x)$ :

$$v(x) = \begin{cases} J_2(x), & x \in (-L, L); \\ \infty, & x \notin (-L, L), \end{cases}$$

где  $U(x) = v(x) * V_0$ ,  $V_0 = 25$  эВ,  $L = 3$  Å,  $J_n(x)$  — функция Бесселя,  $n = 2$ .

- 1) Используя метод возмущений, найти энергию, нормированную волновую функцию для основного и 2-го возбужденного состояний и плотности вероятности. Энергию вычислять с учетом поправок до второго порядка включительно, а волновую функцию с учетом поправок первого порядка. Возмущенную систему смоделировать, создав в потенциальной функции  $U(x)$  пик произвольной формы. Привести как численные значения энергий, так и построить графики волновых функций и плотностей вероятности.
- 2) Вычислить для этих состояний квантовомеханические средние  $\langle p(x) \rangle$  и  $\langle p(x^2) \rangle$ .
- 3) Сравнить результаты с данными, полученными методом пристрелки для возмущенной системы.

## 2. Одномерное стационарное уравнение Шрёдингера. Математический формализм. Общие свойства решений

Одномерное стационарное уравнение Шрёдингера[1]

$$\hat{H}\psi(x) = E\psi(x) \quad (1)$$

с математической точки зрения представляет собой задачу определения собственных значений  $E$  и собственных функций  $\psi(x)$  оператора Гамильтона  $\hat{H}$ . Для частицы с массой  $m$ , находящейся в потенциальном поле  $U(x)$ , оператор Гамильтона имеет вид

$$\hat{H} = \hat{T} + U(x), \quad (2)$$

где оператор кинетической энергии

$$\hat{T} = -\frac{\hbar^2}{2m} \frac{d^2}{dx^2}, \quad (3)$$

а  $\hbar$  — постоянная Планка. Собственное значение оператора Гамильтона имеет смысл энергии соответствующей изолированной квантовой системы. Собственные функции называются волновыми функциями. Волновая функция однозначна и непрерывна во всем пространстве. Непрерывность волновой функции и её 1-й производной сохраняется и при обращении  $U(x)$  в  $\infty$  в некоторой области пространства. В такую область частица вообще не может проникнуть, то есть в этой области, а также на её границе,  $\psi(x) = 0$ .

Оценим нижнюю границу энергетического спектра. Пусть минимальное значение потенциальной функции равно  $U_{\min}$ . Очевидно, что  $\langle T \rangle \geq 0$  и  $\langle U \rangle \geq U_{\min}$ . Потому, из уравнения (1) следует, что

$$E = \langle H \rangle = \int_{-\infty}^{\infty} \psi^*(x) \hat{H} \psi(x) dx = \langle T \rangle + \langle U \rangle > U_{\min}. \quad (4)$$

То есть, энергии всех состояний  $> U_{\min}$ .

Особый практический интерес представляет случай, когда

$$\lim_{x \rightarrow \pm\infty} U(x) = 0. \quad (5)$$

Потенциал такого типа называется также потенциальной ямой. Для данной  $U(x)$  свойства решений уравнения Шрёдингера зависят от знака собственного значения  $E$ .

Если  $E < 0$ . Частица с отрицательной энергией совершает финитное движение. Оператор Гамильтона имеет дискретный спектр, то есть собственные значения и соответствующие собственные функции можно снабдить номерами. При  $E < 0$  уравнение (1) приобретает вид [1]:

$$\hat{H}\psi_k(x) = E_k\psi_k(x). \quad (6)$$

Квантовое состояние, обладающее наименьшей энергией, называется основным. Остальные состояния называют возбуждёнными состояниями. В силу линейности стационарного уравнения Шрёдингера, волновые функции математически определены с точностью до постоянного множителя. Однако, из физических соображений, волновые функции должны быть нормированы следующим образом

$$\int_{-\infty}^{+\infty} |\psi_k(x)|^2 dx = 1. \quad (7)$$

В дальнейшем будет рассматриваться только дискретный спектр. При этом необходимо пользоваться осцилляционной теоремой.

**Осцилляционная теорема.** Упорядочим собственные значения оператора Гамильтона в порядке возрастания, нумеруя энергию основного состояния индексом «0»:  $E_0, E_1, E_2, \dots, E_k, \dots$ . Тогда волновая функция  $\psi_k(x)$  будет иметь  $k$  узлов (то есть, пересечений с осью абсцисс). Исключения: области, в которых потенциальная функция бесконечна.

### 3. Теория возмущений. Алгоритм

К числу приближенных методов вычисления собственных значений и собственных функций оператора Гамильтона относится метод стационарных возмущений Релея–Шрёдингера[3], который мы далее будем просто называть «методом или теорией возмущений».

В рамках этого теоретического подхода предполагается, что оператор Гамильтона, чьи собственные значения и собственные функции требуется определить, может быть представлен в виде:

$$\hat{H} = \hat{H}^0 + \hat{V}, \quad (8)$$

где  $\hat{H}^0$  — гамильтониан идеализированной задачи, решение которой можно найти либо аналитически, либо относительно простым численным путем;  $\hat{V}$  — называется оператором возмущения, или просто возмущением.

Оператором возмущения может быть либо часть гамильтониана, которая не учитывалась в идеализированной задаче, либо потенциальная энергия, связанная с наличием внешнего воздействия.

Идеализированную систему, которую описывает гамильтониан  $\hat{H}^0$ , называют «невозмущенной» системой, а систему с гамильтонианом  $\hat{H}$  — «возмущенной» системой. В рамках теории возмущений удастся получить формулы, определяющие энергии и волновые функции стационарных состояний через известные значения энергий  $E_n^{(0)}$  и волновых функций  $\Psi_n^{(0)}$  невозмущенной системы.

Стационарные уравнения Шрёдингера для невозмущенной и возмущенной систем [3] имеют вид:

$$\hat{H}^0 \Psi_n^{(0)}(x) = E_n^{(0)} \Psi_n^{(0)}(x); \quad (9)$$

$$\hat{H} \Psi_n(x) = E_n \Psi_n(x). \quad (10)$$

В теории возмущений решения уравнения (10) ищутся в виде рядов:

$$E_n = E_n^{(0)} + E_n^{(1)} + E_n^{(2)} + \dots = \sum_{k=0}^{\infty} E_n^{(k)},$$

$$\Psi_n(x) = \Psi_n^{(0)}(x) + \Psi_n^{(1)}(x) + \Psi_n^{(2)}(x) + \dots = \sum_{k=0}^{\infty} \Psi_n^{(k)}(x),$$
(11)

где  $E_n^{(k)}$ ,  $\Psi_n^{(k)}(x)$  — величины  $k$ -го порядка малости по возмущению  $\hat{V}$ , называемые  $k$ -ми поправками или поправками  $k$ -го порядка. Первые слагаемые рядов (11) определяются следующими формулами:

$$E_n^{(1)} = V_{nn},$$

$$E_n^{(2)} = \sum'_m \frac{|V_{nm}|^2}{E_n^{(0)} - E_m^{(0)}},$$

$$\Psi_n^{(1)}(x) = \sum'_m \frac{V_{mn}}{E_n^{(0)} - E_m^{(0)}} \Psi_m^{(0)}(x),$$
(12)

где

$$V_{mn} \equiv \langle m|V|n \rangle = \int_{\Omega} \Psi_m^{(0)*}(x) \hat{V} \Psi_n^{(0)}(x) dx. \quad (13)$$

Штрих над знаком суммы означает пропуск слагаемого с  $m = n$ :  $\sum'_m \equiv \sum_{m \neq n}$ . Очевидно, что ряды в (12) сходятся, если выполняется неравенство

$$|V_{nm}| \ll |E_n^{(0)} - E_m^{(0)}|. \quad (14)$$

Во многих случаях для решения задачи достаточно ограничиться вычислением энергии с учетом поправок до второго порядка включительно и волновой функции с учетом поправок первого порядка [3]:

$$E_n = E_n^{(0)} + V_{nn} + \sum'_m \frac{|V_{nm}|^2}{E_n^{(0)} - E_m^{(0)}},$$

$$\Psi_n(x) = \Psi_n^{(0)}(x) + \sum'_m \frac{V_{mn}}{E_n^{(0)} - E_m^{(0)}} \Psi_m^{(0)}(x).$$
(15)

При вычислении второй поправки к энергии и первой поправки к волновой функции основного состояния возмущенной системы бесконечные суммы в (12) заменяются конечными. Для оценки корректного численного

значения надо выполнить несколько расчетов соответствующей суммы для монотонно возрастающих величин. Если увеличение верхнего предела суммы, начиная с некоторого значения, не приводит к заметным изменениям суммы, то задача оценки значения верхнего значения суммы решена.



## 4. Программная реализация алгоритма

В Приложении представлена программа на языке Python 3.0 [2], реализованная в среде разработки PyCharm Community Edition 2024.2.1, численного решения одномерного стационарного уравнения Шредингера для электрона в одномерной потенциальной яме. Программа реализует алгоритм теории возмущений, позволяющий находить собственные значения и соответствующие им волновые функции. Потенциальная функция (невозмущенная система) и параметры для нее соответствуют постановке задачи из первой главы. Энергия и длина ямы были переведены в атомные единицы Хартри (строки 105-108)

В строках 5-121 реализован алгоритм пристрелки, который подробно разобран в лабораторной работе №1, в данной программе этот алгоритм используется для реализации невозмущенной системы и вычисления ее решения (собственные значения и собственные функции оператора Гамильтона). Собственные значения и собственные функции невозмущенной системы будут использоваться для вычисления решения возмущенной системы. Путем компьютерного моделирования был вычислен верхний предел сумм (12). В программе за верхний предел сумм отвечает  $k_{\max}$  в строке 199, он равен количеству вычисленных энергий невозмущенной системы, для данного варианта задачи было достаточно 14.

В строках 125-132 реализована потенциальная функция возмущенной системы, для этого был создан пик который больше  $\max(U(x))$  на отрезке  $[2.5; 3.0]$

В строках 134-135 реализован оператор возмущения.

В строках 137-141 и 143-146 реализованы функции возвращающие энергии и волновые функции невозмущенной системы.

В строках 149-152 и 155-158 реализованы функции которые вычисляют матричный элемент оператора возмущения по невозмущенным системам (13).

В строках 162-175 реализована функция вычисляющая поправку второго порядка (12).

В строках 177-183 и 185-192 реализованы функции вычисляющие поправку первого порядка для волновой функции возмущенной системы.

В строках 195-196 реализована функция вычисляющая первое приближение волновой функции (15)

В строках 198-291 реализована функция с одним параметром `root` который определяет номер состояния возмущенной системы для которого требуется вычислить энергию и волновую функцию. В функции вычисляется энергия с учетом поправок до второго порядка включительно, и волновая функция с учетом поправок первого порядка. Также в функции реализован вывод графиков и запись данных в файл.

В строках 293-294 вызывается функция `result` для основного и второго возбужденного состояний возмущенной системы.

В строках 296-310 выводятся графики невозмущенной и возмущенной систем.

## 5. Результаты численных экспериментов и их анализ

Невозмущенная система из постановки задачи представлена на Рис. 1.

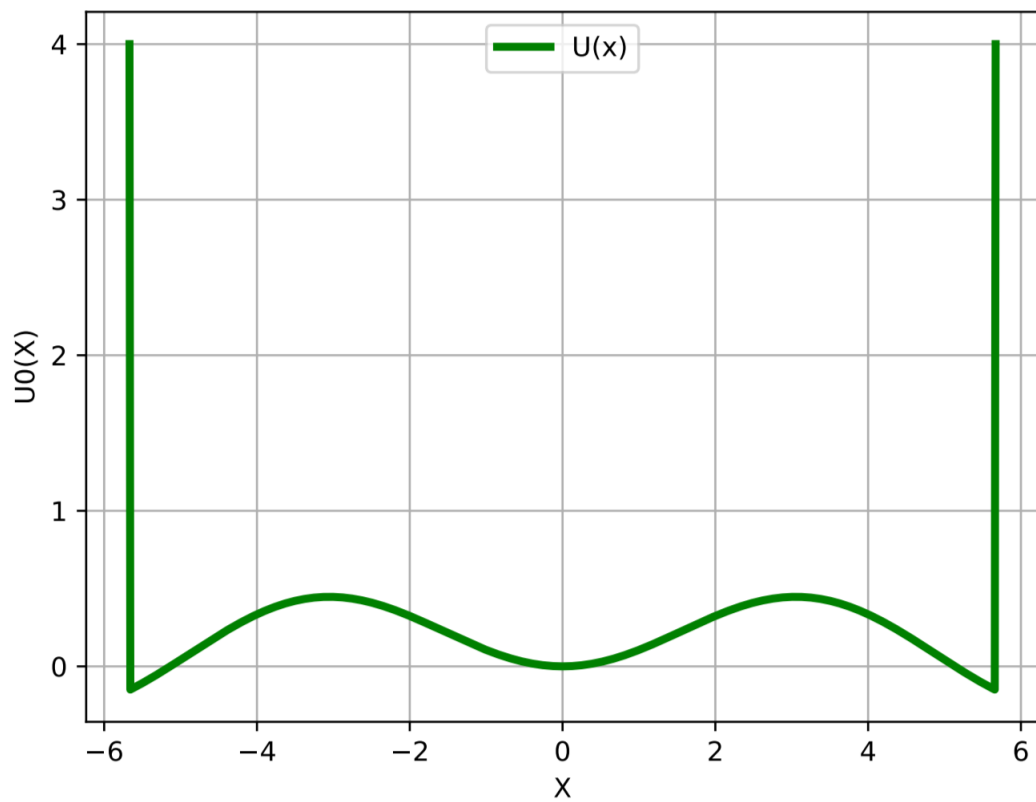


Рис. 1. Невозмущенная система

Возмущенная система представлена на Рис. 2.

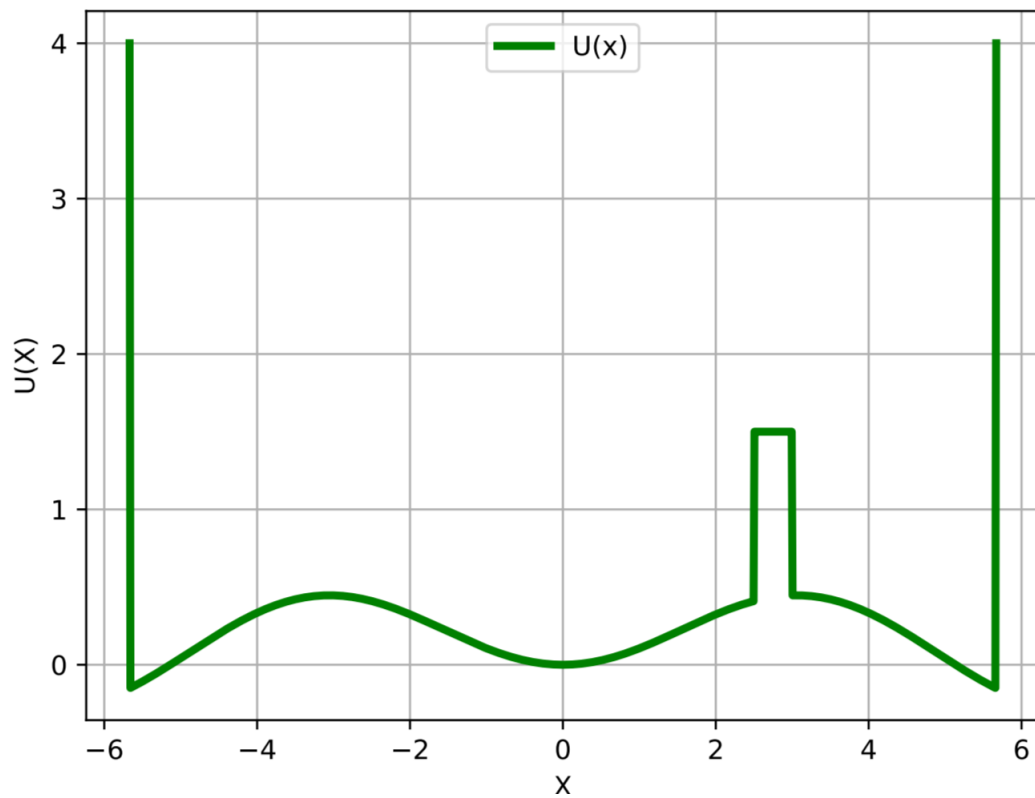


Рис. 2. Возмущенная система

При вычислении энергии с учетом поправок для основного состояния возмущенной системы были получены следующие значения на Рис. 3:

```
e0(1)= 0.2004808959960938
e= 0.21676094417656988    (1-approximation)
k= 1    s= -0.004500358344230809
k= 2    s= -0.006688825860448711
k= 3    s= -0.006690133200429368
k= 4    s= -0.007687705183441375
k= 5    s= -0.008791550330884907
k= 6    s= -0.009063823093435936
k= 7    s= -0.009085225116504886
k= 8    s= -0.009404571893642735
k= 9    s= -0.009729642770751477
k= 10   s= -0.00979269384940016
k= 11   s= -0.009814425800433324
k= 12   s= -0.009963430265648481
k= 13   s= -0.010092497764022854
k= 14   s= -0.01010933462794701
e= 0.20665160954862288    (2-approximation)
```

Рис. 3. Энергия с учетом поправок первого и второго порядка

Где  $e_0(1)$  это энергия основного состояния невозмущенной системы.  $e$  это энергия возмущенной системы вычисленная с учетом поправок.  $s$  это сумма из формулы второй поправки (12) которая вычислялась поочередно с каждым состоянием невозмущенной системы.

На Рис. 4 представлена волновая функция и плотность вероятности возмущенной системы для основного состояния.

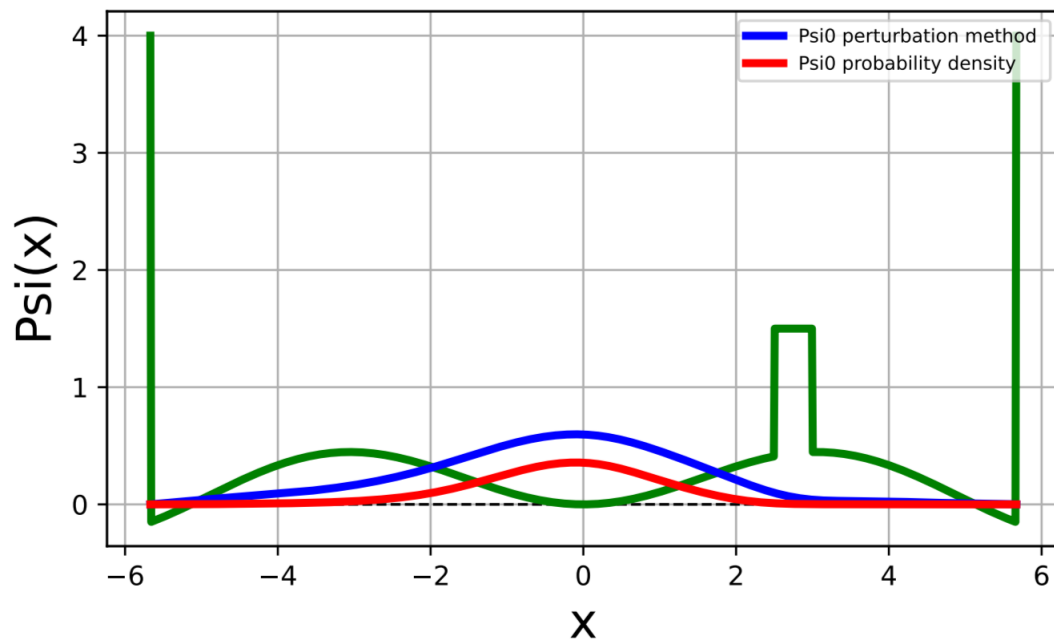


Рис. 4. Волновая функция и плотность вероятности основного состояния

На графиках можно видеть, что функции согласно осциляционной теореме соответствуют основному состоянию так как нету пересечений с осью абсцисс, кроме бесконечных потенциальных стенок которые не учитываются.

На Рис. 5 представлено сравнение волновых функций основного состояния возмущенной системы вычисленных методом пристрелки и методом возмущений.

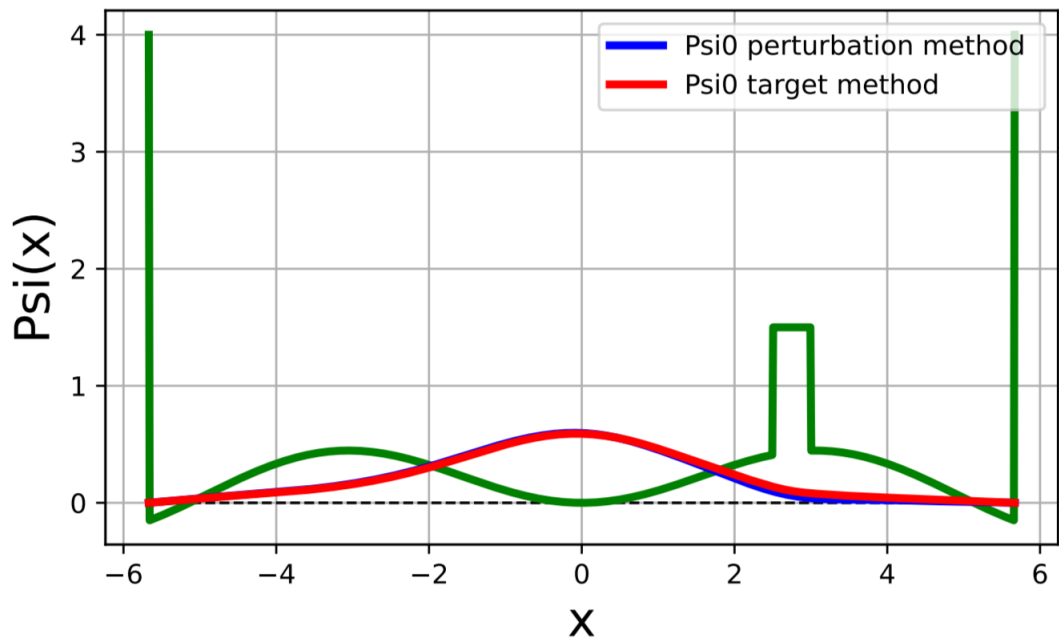


Рис. 5. Волновая функция основного состояния возмущенной системы

На Рис. 6 представлены значения энергий основного состояния и квантовомеханических средних  $\langle p(x) \rangle$  и  $\langle p(x^2) \rangle$  вычисленные методом пристрелки и методом возмущений

```
E_perturbation = 0.206652, <p_x> = 0.000000e+00, <p_x^2> = 2.001141e-01
E_target = 0.210341, <p_x> = 0.000000e+00, <p_x^2> = 1.812072e-01
```

Рис. 6. Энергия и квантовомеханические средние  $\langle p(x) \rangle$  и  $\langle p(x^2) \rangle$  для основного состояния

Здесь  $E_{\text{perturbation}}$  это энергия вычисленная методом возмущений,  $E_{\text{target}}$  это энергия вычисленная методом пристрелки.

При вычислении энергии с учетом поправок для второго возбужденного состояния возмущенной системы были получены следующие значения на Рис. 7:

```

e0(1)= 0.6140874633789066
e= 0.6714745262025408      (1-approximation)
k= 0    s= 0.0021884675162179017
k= 1    s= 0.034018348403415374
k= 3    s= 0.03401829857367642
k= 4    s= 0.028250387107357666
k= 5    s= 0.02267404650081549
k= 6    s= 0.02128137847730227
k= 7    s= 0.02123476823862903
k= 8    s= 0.02003932329252622
k= 9    s= 0.01871014739767252
k= 10   s= 0.01839102368119275
k= 11   s= 0.01834665340014979
k= 12   s= 0.017838074839554668
k= 13   s= 0.017319888431067052
k= 14   s= 0.017217745468256978
e= 0.6886922716707977      (2-approximation)

```

Рис. 7. Энергия с учетом поправок первого и второго порядка

Где  $e_0(1)$  это энергия второго возбужденного состояния невозмущенной системы.  $e$  это энергия возмущенной системы вычисленная с учетом поправок.  $s$  это сумма из формулы второй поправки (12) которая вычислялась поочередно с каждым состоянием невозмущенной системы.

На Рис. 8 представлена волновая функция и плотность вероятности возмущенной системы для второго возбужденного состояния.

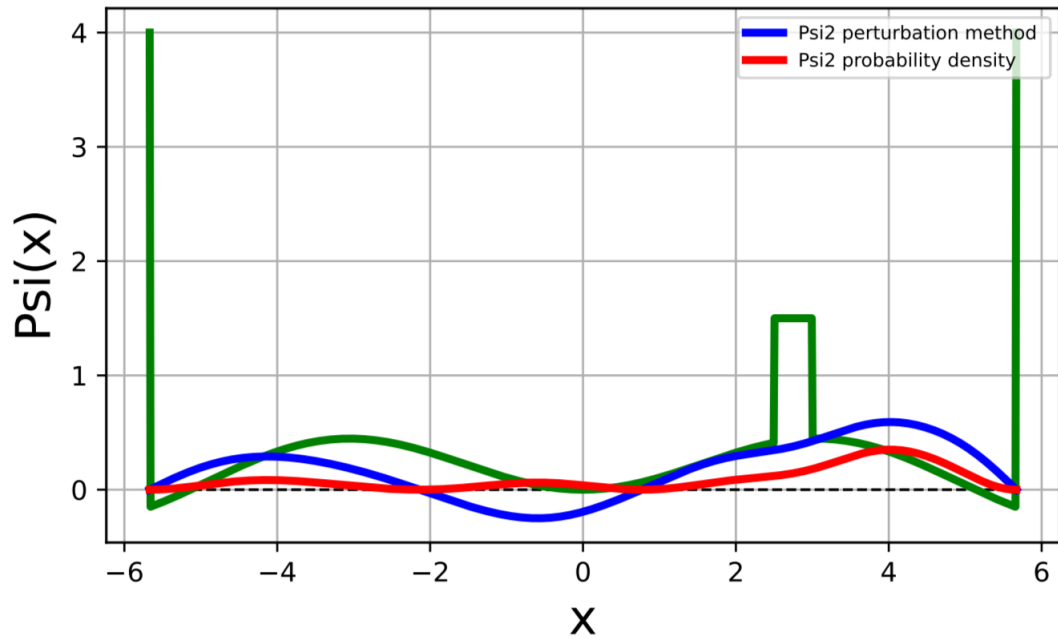


Рис. 8. Волновая функция и плотность вероятности второго возбужденного состояния

На графиках можно видеть, что функции согласно осциляционной теореме соответствуют второму возбужденному состоянию так как есть два пересечения с осью абсцисс, кроме бесконечных потенциальных стенок которые не учитываются.

На Рис. 9 представлено сравнение волновых функций второго возбужденного состояния возмущенной системы вычисленных методом пристрелки и методом возмущений.



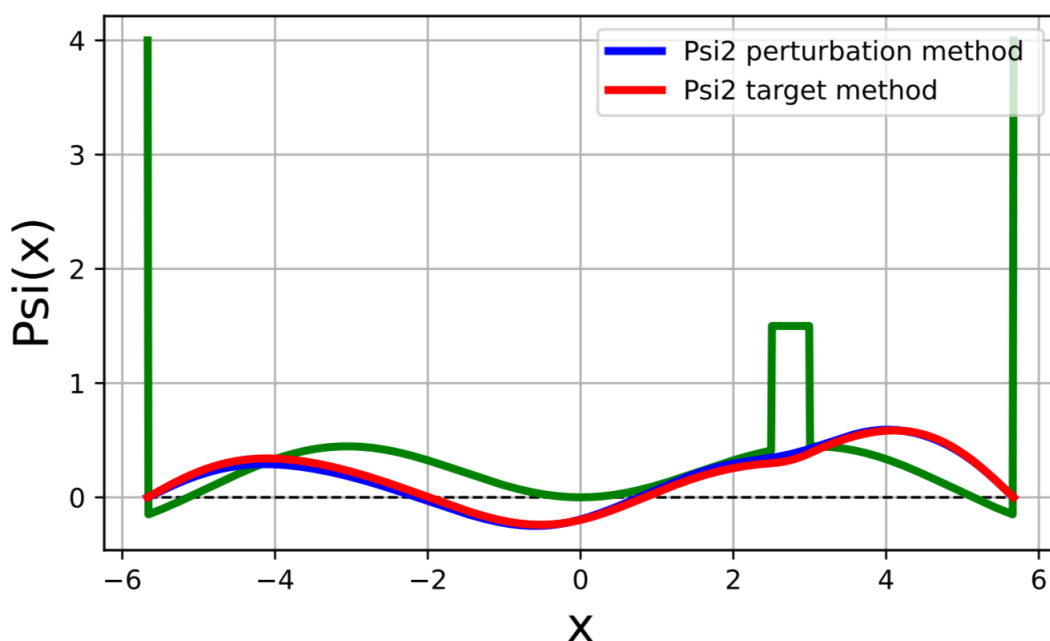


Рис. 9. Волновая функция второго возбужденного состояния возмущенной системы

На Рис. 10 представлены значения энергий второго возбужденного состояния и квантовомеханических средних  $\langle p(x) \rangle$  и  $\langle p(x^2) \rangle$  вычисленные методом пристрелки и методом возмущений

```
E_perturbation = 0.688692, <p_x> = 0.000000e+00, <p_x^2> = 6.323043e-01
E_target = 0.676564, <p_x> = 0.000000e+00, <p_x^2> = 6.751142e-01
```

Рис. 10. Энергия и квантовомеханические средние  $\langle p(x) \rangle$  и  $\langle p(x^2) \rangle$  для второго возбужденного состояния

Здесь  $E_{\text{perturbation}}$  это энергия вычисленная методом возмущений,  $E_{\text{target}}$  это энергия вычисленная методом пристрелки.

### Заключение.

Таким образом, было получено численное решение для задачи о частице в одномерной квантовой яме с бесконечными стенками при помощи метода возмущений. Были получены значения энергий и волновые функции основного и второго возбужденного состояний, а также для каждого состояния были вычислены квантовомеханические средние  $\langle p(x) \rangle$ ,  $\langle p(x^2) \rangle$ . Полученные волновые функции соответствуют осцилляторной теореме. Сравнивая результаты полученные методом возмущений с методом пристрелки можно сказать, что метод возмущений менее точен.

## Приложение 1. Компьютерный код

```
1      import numpy as np
2      import matplotlib.pyplot as plt
3      from scipy.special import jn
4
5      def U0(x):
6          if abs(x) < L:
7              return V0 * jn(2, x)
8          else:
9              return 4.0
10
11
12      def q(e, x, potential_func):
13          return 2.0 * (e - potential_func(x))
14
15      def deriv(Y, h, m):
16          return (Y[m - 2] - Y[m + 2] + 8.0 * (Y[m + 1] - Y[m - 1])) / (12.0 *
17              h)
18
19      def normalize_wavefunction(Y):
20          norm = np.sqrt(np.trapz(Y**2, X))
21          return Y / norm
22
23      def mean_momentum(Psi, X):
24          hbar = 1.0
25          dPsi_dx = np.gradient(Psi, X)
26          integrand = Psi.conj() * dPsi_dx
27          mean_Px = -1j * hbar * np.trapz(integrand, X)
28          return mean_Px.real
29
30      def mean_square_momentum(Psi, X):
31          hbar = 1.0
32          d2Psi_dx2 = np.gradient(np.gradient(Psi, X), X)
33          integrand = Psi.conj() * d2Psi_dx2
34          mean_Px2 = -hbar**2 * np.trapz(integrand, X)
35          return mean_Px2.real
36
37      def f_fun(e, n, potential_func):
38          F = np.array([c * q(e, X[i], potential_func) for i in np.arange(n)])
39          Psi.fill(0.0)
40          Psi[0] = 0.0
41          Fi[n - 1] = 0.0
42          Psi[1] = d1
```

```

42         Fi[n - 2] = d2
43
44
45     for i in np.arange(1, n - 1, 1):
46         p1 = 2.0 * (1.0 - 5.0 * F[i]) * Psi[i]
47         p2 = (1.0 + F[i - 1]) * Psi[i - 1]
48         Psi[i + 1] = (p1 - p2) / (1.0 + F[i + 1])
49
50
51     for i in np.arange(n - 2, 0, -1):
52         f1 = 2.0 * (1.0 - 5.0 * F[i]) * Fi[i]
53         f2 = (1.0 + F[i + 1]) * Fi[i + 1]
54         Fi[i - 1] = (f1 - f2) / (1.0 + F[i - 1])
55
56     p1 = np.abs(Psi).max()
57     p2 = np.abs(Psi).min()
58     big = p1 if p1 > p2 else p2
59
60     Psi[:] = Psi[:] / big
61     coef = Psi[r] / Fi[r]
62     Fi[:] = coef * Fi[:]
63
64     return deriv(Psi, h, r) - deriv(Fi, h, r)
65
66 def energy_scan(E_min, E_max, step, potential_func):
67     energies = []
68     values = []
69     E = E_min
70     while E <= E_max:
71         f_value = f_fun(E, n, potential_func)
72         energies.append(E)
73         values.append(f_value)
74         E += step
75     return energies, values
76
77 def find_exact_energies(E_min, E_max, step, tol, potential_func):
78     energies, values = energy_scan(E_min, E_max, step, potential_func)
79     exact_energies = []
80     for i in range(1, len(values)):
81         Log1 = values[i] * values[i - 1] < 0.0
82         Log2 = np.abs(values[i] - values[i - 1]) < porog
83         if Log1 and Log2:
84             E1, E2 = energies[i - 1], energies[i]
85             exact_energy = bisection_method(E1, E2, tol, potential_func)
86             f_fun(exact_energy, n, potential_func)

```

```

87         exact_energies.append(exact_energy)
88     return exact_energies
89
90     def bisection_method(E1, E2, tol, potential_func):
91         while abs(E2 - E1) > tol:
92             Emid = (E1 + E2) / 2.0
93             f1, f2, fmid = f_fun(E1, n, potential_func), f_fun(E2, n,
94                 potential_func), f_fun(Emid, n, potential_func)
95             if f1 * fmid < 0.0:
96                 E2 = Emid
97             else:
98                 E1 = Emid
99             if f2 * fmid < 0.0:
100                 E1 = Emid
101             else:
102                 E2 = Emid
103         return (E1 + E2) / 2.0
104
105     cenergy = 27.212
106     clength = 0.5292
107     V0 = 25.0 / cenergy
108     L = 3.0 / clength
109     A, B = -L, L
110     n = 1001
111     h = (B - A) / (n - 1)
112     c, W = h ** 2 / 12.0, 3.0
113     Psi, Fi, X = np.zeros(n), np.zeros(n), np.linspace(A, B, n)
114     r = (n-1)//2 - 15
115     porog = 4.0
116
117     d1, d2 = 1.e-09, 1.e-09
118     tol = 1e-6
119
120     E_min, E_max, step = -0.1, 9.0, 0.01
121     exact_energies = find_exact_energies(E_min + 0.001, E_max, step, tol, U0
122         )
123
124     file1 = open(f"result.txt", "a")
125
126     def U(x):
127         if abs(x) < L:
128             if 2.5 <= x <= 3.0:
129                 return 1.5
130             else:

```

```

130         return V0 * jn(2, x)
131     else:
132         return 4.0
133
134 def V(x):
135     return U(x) - U0(x)
136
137 def e0(k):
138     if k < len(exact_energies):
139         return exact_energies[k]
140     else:
141         raise ValueError(f"There is no level with the {k} number")
142
143 def psi_interp(k, x):
144     f_fun(exact_energies[k], n, U0)
145     Psi_copy = normalize_wavefunction(Psi.copy())
146     return np.interp(x, X, Psi_copy)
147
148
149 def funct(x, k1, k2):
150     psi_k1 = psi_interp(k1, x)
151     psi_k2 = psi_interp(k2, x)
152     return psi_k1 * V(x) * psi_k2
153
154
155 def matel(k1, k2):
156     integrand_values = np.array([funct(x, k1, k2) for x in X])
157     res = np.trapz(integrand_values, X)
158     return res if abs(res) > 1e-14 else 0.0
159
160
161
162 def e_corr_2(kmax, root):
163     s = 0.0
164     for k in range(0, root):
165         s += matel(root, k)**2 / (e0(root) - e0(k))
166         energy_diff = abs(e0(root) - e0(k))
167         if abs(matel(root, k)) >= energy_diff:
168             print(f"Error: ")
169             print("k=", k, " s=", s)
170             print("k=", k, " s=", s, file=file1)
171     for k in range(root + 1, kmax + 1):
172         s += matel(root, k)**2 / (e0(root) - e0(k))
173         print("k=", k, " s=", s)
174         print("k=", k, " s=", s, file=file1)

```

```

175         return s
176
177     def c_psi_corr_1(kmax, root):
178         c = np.zeros(kmax)
179         for k in range(0, root):
180             c[k] = matel(root, k) / (e0(root) - e0(k))
181         for k in range(root + 1, kmax + 1):
182             c[k - 1] = matel(root, k) / (e0(root) - e0(k))
183         return c
184
185     def psi_corr_1(x, c, n, root):
186         kmax = len(c)
187         s = 0.0
188         for k in range(0, root):
189             s += c[k] * psi_interp(k, x)
190         for k in range(root + 1, kmax + 1):
191             s += c[k - 1] * psi_interp(k, x)
192         return s
193
194
195     def psi(x, c, n, root):
196         return psi_interp(root, x) + psi_corr_1(x, c, n, root)
197
198     def result(root):
199         kmax = int(len(exact_energies) - 1)
200         print("=====")
201         print("=====", file=file1)
202         print(f"State {root}")
203         print(f"State {root}", file=file1)
204         print("kmax = ", kmax)
205         print("kmax = ", kmax, file=file1)
206         e1 = e0(root) + matel(root, root)
207         print("e0(1)=", e0(root))
208         print("e0(1)=", e0(root), file=file1)
209         print("e=", e1, " (1-approximation)")
210         print("e=", e1, " (1-approximation)", file=file1)
211         e2 = e0(root) + matel(root, root) + e_corr_2(kmax, root)
212         print("e=", e2, " (2-approximation)")
213         print("e=", e2, " (2-approximation)", file=file1)
214
215         c1 = c_psi_corr_1(kmax, root)
216         for i in range(len(c1)):
217             print("c[{:1d}] = {:.15.8e}".format(i, c1[i]))
218             print("c[{:1d}] = {:.15.8e}".format(i, c1[i]), file=file1)
219         psi_arr = np.array([psi(x, c1, n, root) for x in X])

```

```

220     E_min2, E_max2, step2 = 0.0, 3.0, 0.01
221     exact_energies2 = find_exact_energies(E_min2 + 0.001, E_max2, step2,
222                                           tol, U)
223     f_fun(exact_energies2[root], n, U)
224     Psi_copy2 = normalize_wavefunction(Psi.copy())
225     psi_arr2 = normalize_wavefunction(psi_arr.copy())
226     psi_density = psi_arr2 ** 2
227
228     mean_Px = mean_momentum(psi_arr2, X)
229     mean_Px2 = mean_square_momentum(psi_arr2, X)
230     print(f"E_perturbation = {e2:.6f}, <p_x> = {mean_Px:.6e}, <p_x^2> =
231           {mean_Px2:.6e}")
232     print(f"E_perturbation = {e2:.6f}, <p_x> = {mean_Px:.6e}, <p_x^2> =
233           {mean_Px2:.6e}", file=file1)
234     mean_Px = mean_momentum(Psi_copy2, X)
235     mean_Px2 = mean_square_momentum(Psi_copy2, X)
236     print(f"E_target = {exact_energies2[root]:.6f}, <p_x> = {mean_Px:.6e
237           }, <p_x^2> = {mean_Px2:.6e}")
238     print(f"E_target = {exact_energies2[root]:.6f}, <p_x> = {mean_Px:.6e
239           }, <p_x^2> = {mean_Px2:.6e}", file=file1)
240     print("=====")
241     print("=====", file=file1)
242
243     Zero = np.zeros(n, dtype=float)
244     Upot = np.array([U(X[i]) for i in np.arange(n)])
245
246     plt.xlabel("x", fontsize=18, color="k")
247     plt.ylabel("Psi(x)", fontsize=18, color="k")
248     plt.plot(X, Zero, 'k--', linewidth=1.0)
249     plt.plot(X, Upot, 'g-', linewidth=3.0, label="U(x)")
250     line1, = plt.plot(X, psi_arr2, 'b-', linewidth=3.0, label="")
251     line2, = plt.plot(X, psi_density, 'r-', linewidth=3.0, label="")
252
253     plt.subplots_adjust(bottom=0.3)
254
255     plt.figtext(0.5, 0.02,
256                 f"Psi{root} perturbation method (E = {e2:.4f})\n"
257                 f"Psi{root} probability density)",
258                 ha="center", fontsize=10)
259
260     plt.legend([line1, line2],
261                [f"Psi{root} perturbation method ", f"Psi{root}
262                  probability density"],
263                fontsize=7, loc='upper right')

```

```

259
260     plt.grid(True)
261     plt.twinx()
262     plt.yticks([])
263     plt.savefig(f"State{root} probability density.pdf", dpi=300)
264     plt.show()
265     plt.close('all')
266
267
268     plt.xlabel("x", fontsize=18, color="k")
269     plt.ylabel("Psi(x)", fontsize=18, color="k")
270     plt.plot(X, Zero, 'k--', linewidth=1.0)
271     plt.plot(X, Upot, 'g-', linewidth=3.0, label="U(x)")
272     line1, = plt.plot(X, psi_arr2, 'b-', linewidth=3.0, label="")
273     line2, = plt.plot(X, Psi_copy2, 'r-', linewidth=3.0, label="")
274
275     plt.subplots_adjust(bottom=0.3)
276
277     plt.figtext(0.5, 0.02,
278                 f"Psi{root} perturbation method (E = {e2:.4f})\n"
279                 f"Psi{root} target method (E = {exact_energies2[root]:.4f"
280                 "})",
281                 ha="center", fontsize=10)
282
283     plt.legend([line1, line2],
284                [f"Psi{root} perturbation method ", f"Psi{root} target"
285                 "method"],
286                fontsize=10, loc='upper right')
287
288
289     plt.grid(True)
290     plt.twinx()
291     plt.yticks([])
292     plt.savefig(f"State{root}.pdf", dpi=300)
293     plt.show()
294     plt.close('all')
295
296
297     result(0)
298     result(2)
299
300     plt.plot(X, [U0(x) for x in X], 'g-', linewidth=3.0, label="U(x)")
301     plt.xlabel("X")
302     plt.ylabel("U0(X)")
303     plt.grid(True)
304     plt.legend()
305     plt.savefig("U0(X).pdf", dpi=300)

```



```
302         plt.show()
303
304         plt.plot(X, [U(x) for x in X], 'g-', linewidth=3.0, label="U(x)")
305         plt.xlabel("X")
306         plt.ylabel("U(X)")
307         plt.grid(True)
308         plt.legend()
309         plt.savefig("U(X).pdf", dpi=300)
310         plt.show()
```

## Список литературы

1. Тимошенко Ю.К. Численное решение стационарного уравнения Шредингера: метод пристрелки. Учебное пособие. Воронеж: Научная книга, 2019. 35 с.
2. Доля П.Г. Введение в научный Python. Харьков: ХНУ, 2016. 265 с.
3. Тимошенко Ю. К. Численное решение стационарного уравнения Шрёдингера: теория возмущений. Учебное пособие. Воронеж: Научная книга, 2019. 14 с